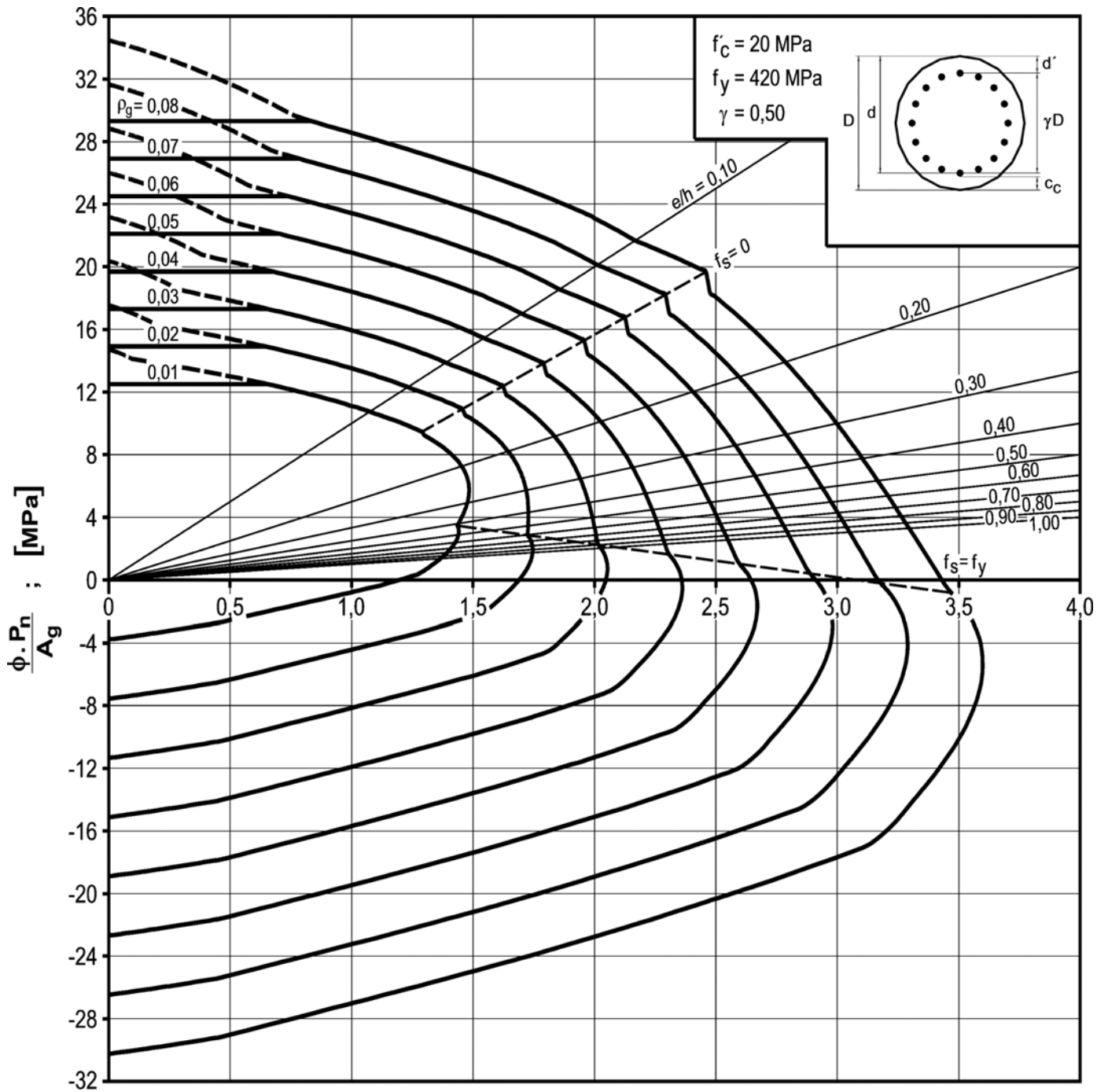


# DIAGRAMA DE INTERACCIÓN

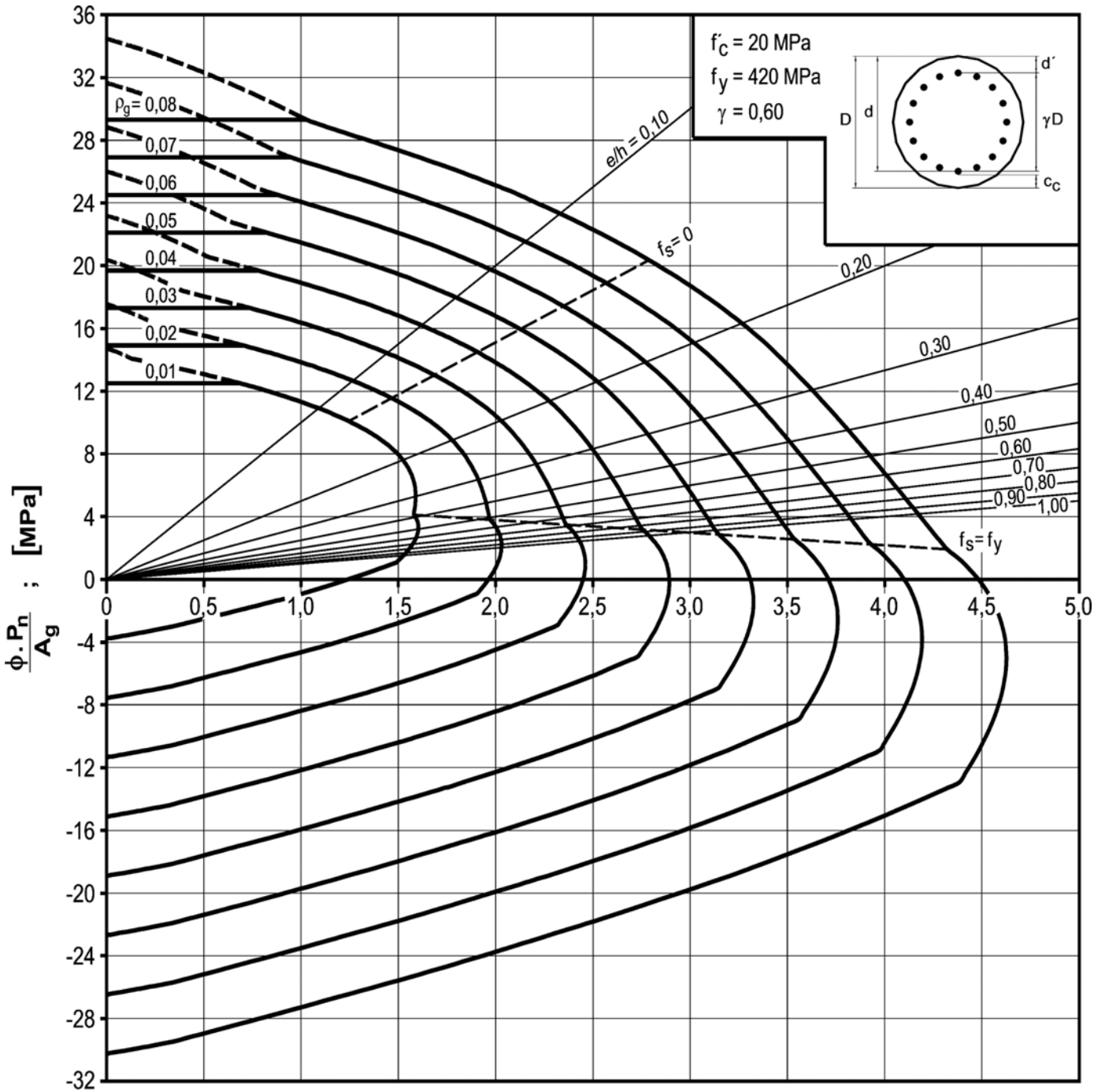


**DIAGRAMA III.1**

Diagrama de interacción de la resistencia de secciones circulares.

$f'_c = 20 \text{ MPa}$  y  $\gamma = 0,50$ .

# DIAGRAMA DE INTERACCIÓN

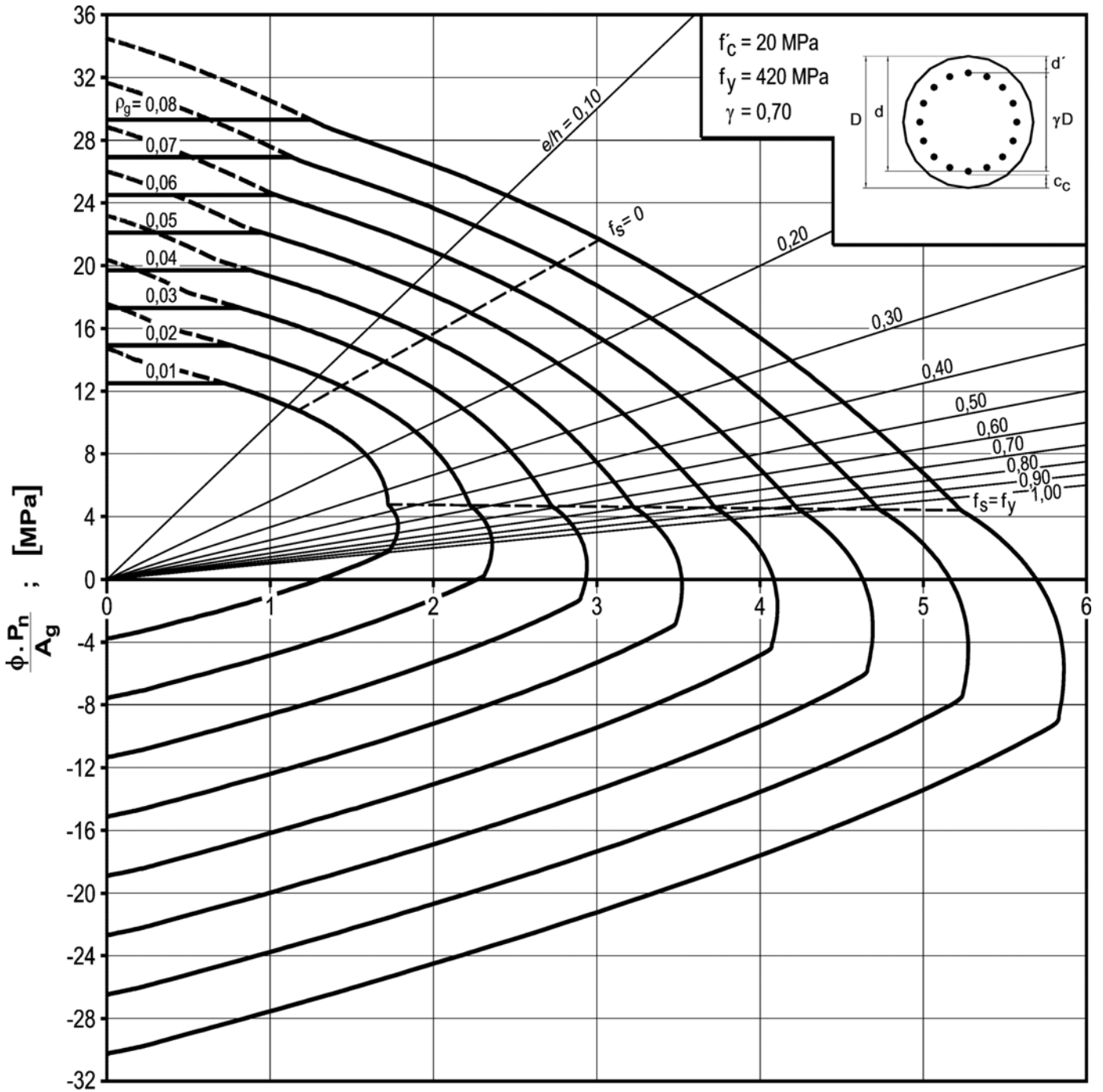


## DIAGRAMA III.2

Diagrama de interacción de la resistencia de secciones circulares.

$f'_c = 20 \text{ MPa}$  y  $\gamma = 0,60$ .

# DIAGRAMA DE INTERACCIÓN



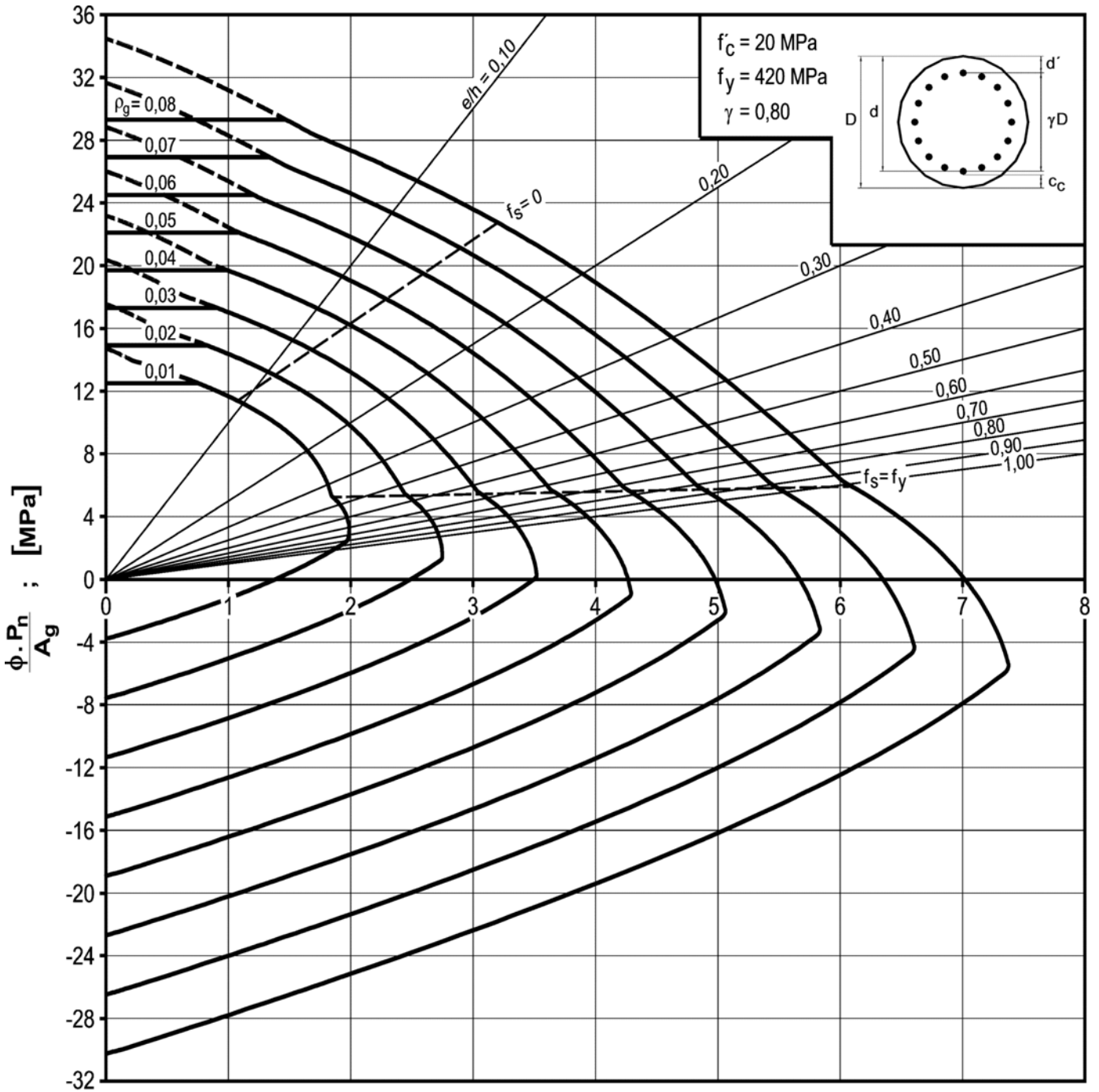
$$\frac{\phi \cdot P_n \cdot e}{A_g \cdot D} = \frac{\phi \cdot M_n}{A_g \cdot D} ; \text{ [MPa]}$$

## DIAGRAMA III.3

Diagrama de interacción de la resistencia de secciones circulares.

$f'_c = 20$  MPa y  $\gamma = 0,70$ .

# DIAGRAMA DE INTERACCIÓN

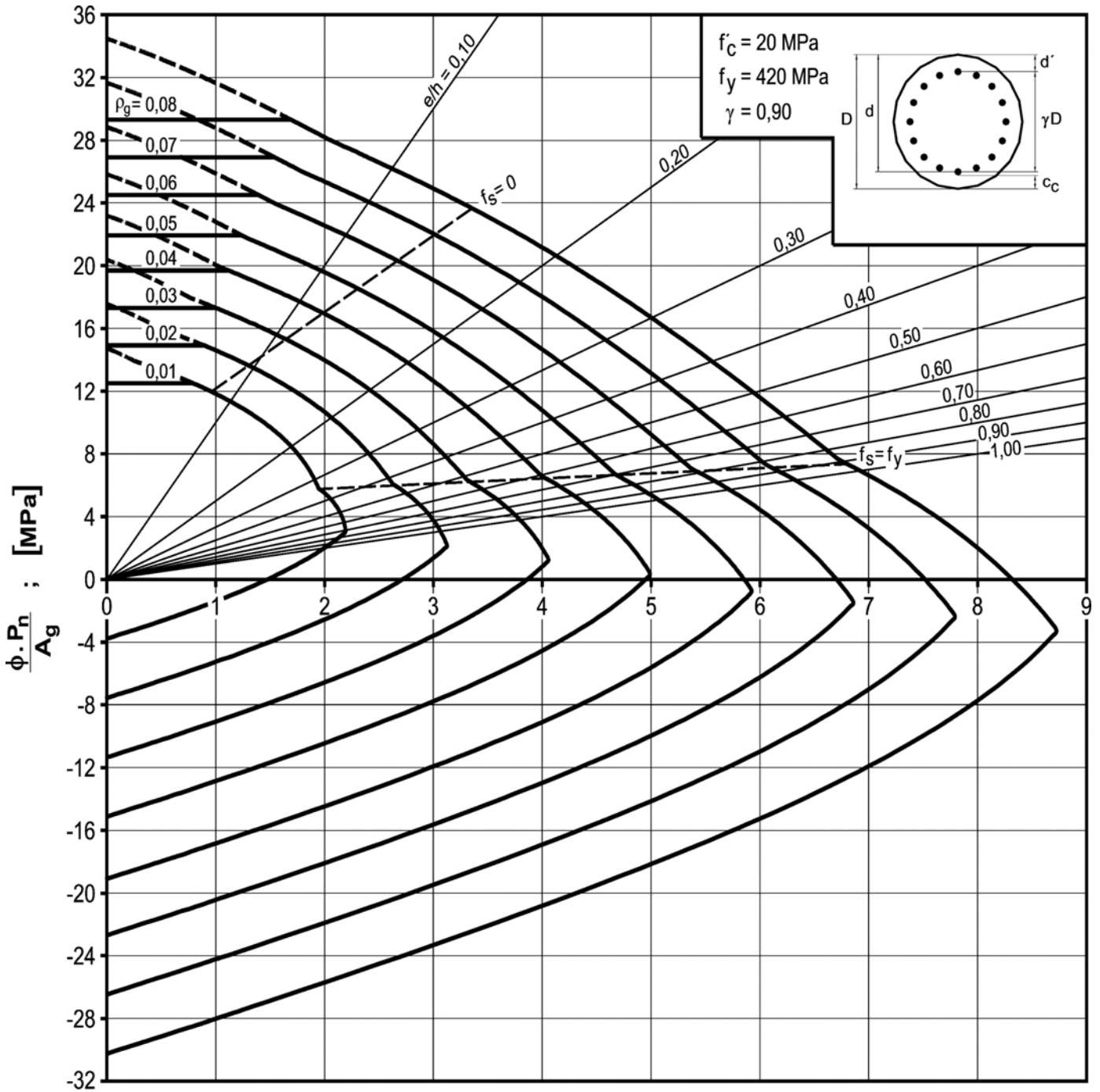


## DIAGRAMA III.4

Diagrama de interacción de la resistencia de secciones circulares.

$f'_c = 20 \text{ MPa}$  y  $\gamma = 0,80$ .

# DIAGRAMA DE INTERACCIÓN



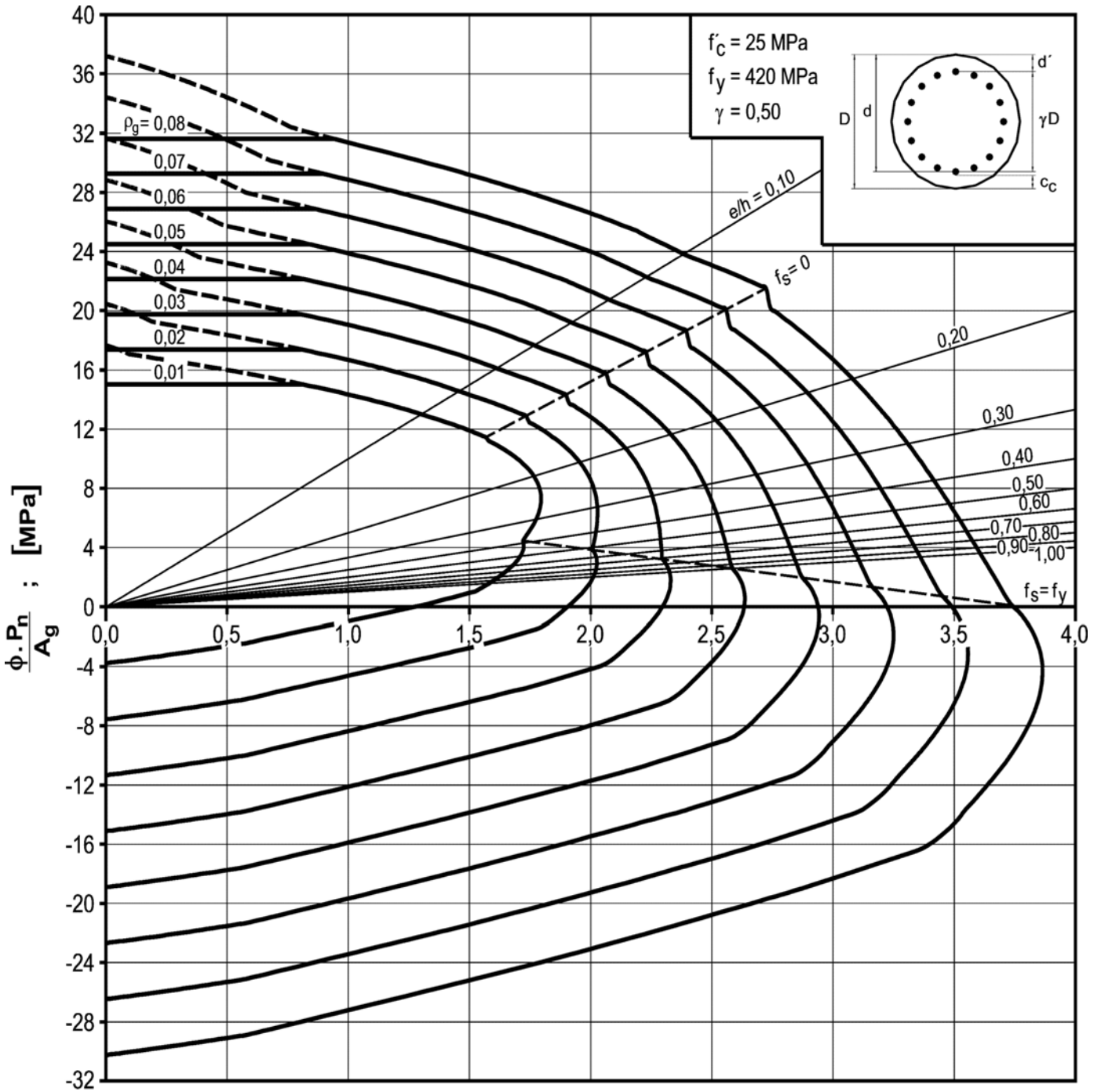
$$\frac{\phi \cdot P_n \cdot e}{A_g \cdot D} = \frac{\phi \cdot M_n}{A_g \cdot D} ; \text{ [MPa]}$$

## DIAGRAMA III.5

Diagrama de interacción de la resistencia de secciones circulares.

$f'_c = 20 \text{ MPa}$  y  $\gamma = 0,90$ .

# DIAGRAMA DE INTERACCIÓN



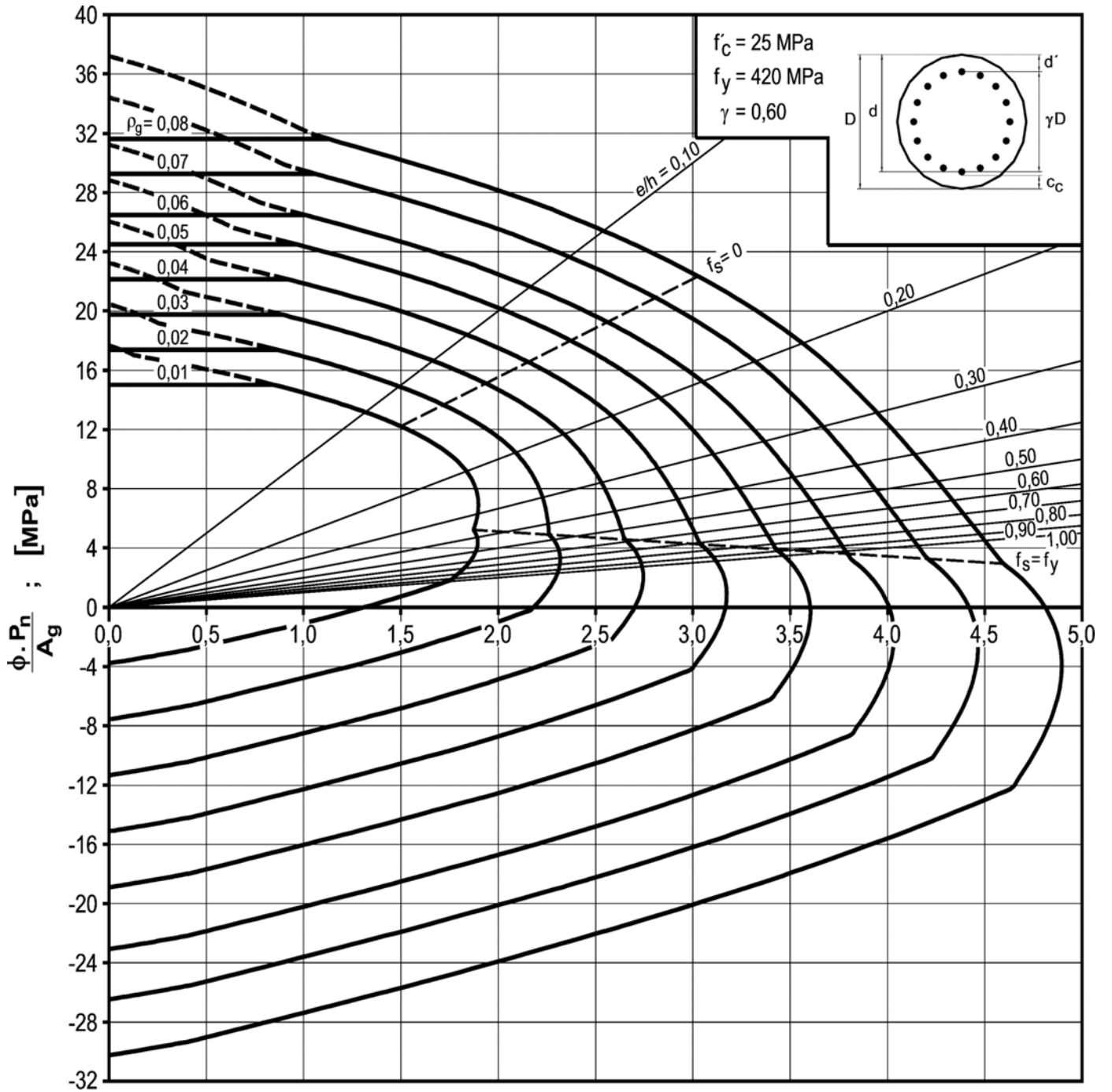
$$\frac{\phi \cdot P_n \cdot e}{A_g \cdot D} = \frac{\phi \cdot M_n}{A_g \cdot D} ; [\text{MPa}]$$

## DIAGRAMA III.6

Diagrama de interacción de la resistencia de secciones circulares.

$f'_c = 25 \text{ MPa}$  y  $\gamma = 0,50$ .

# DIAGRAMA DE INTERACCIÓN

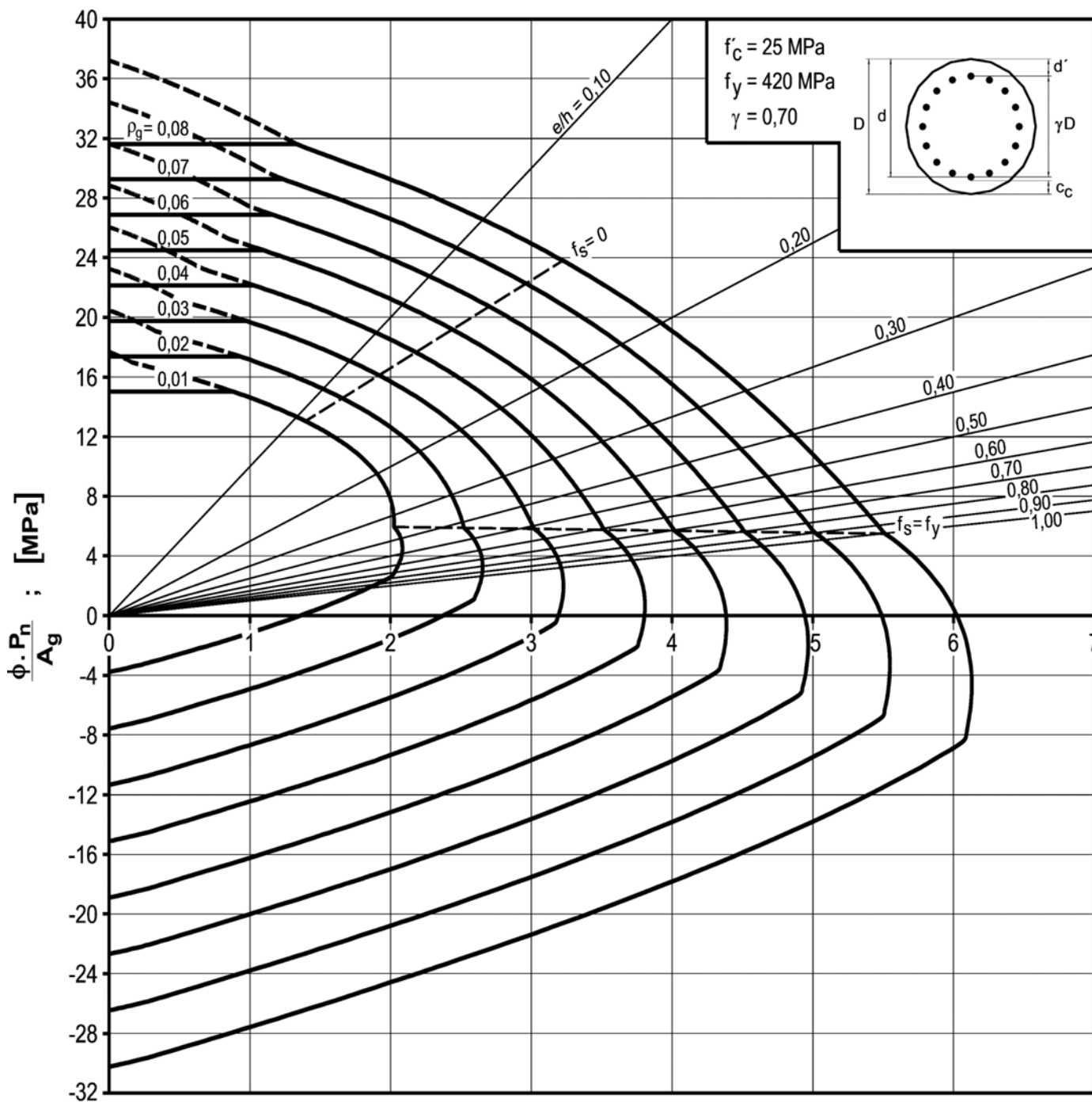


## DIAGRAMA III.7

Diagrama de interacción de la resistencia de secciones circulares.

$f'_c = 25 \text{ MPa}$  y  $\gamma = 0,60$ .

## DIAGRAMA DE INTERACCIÓN

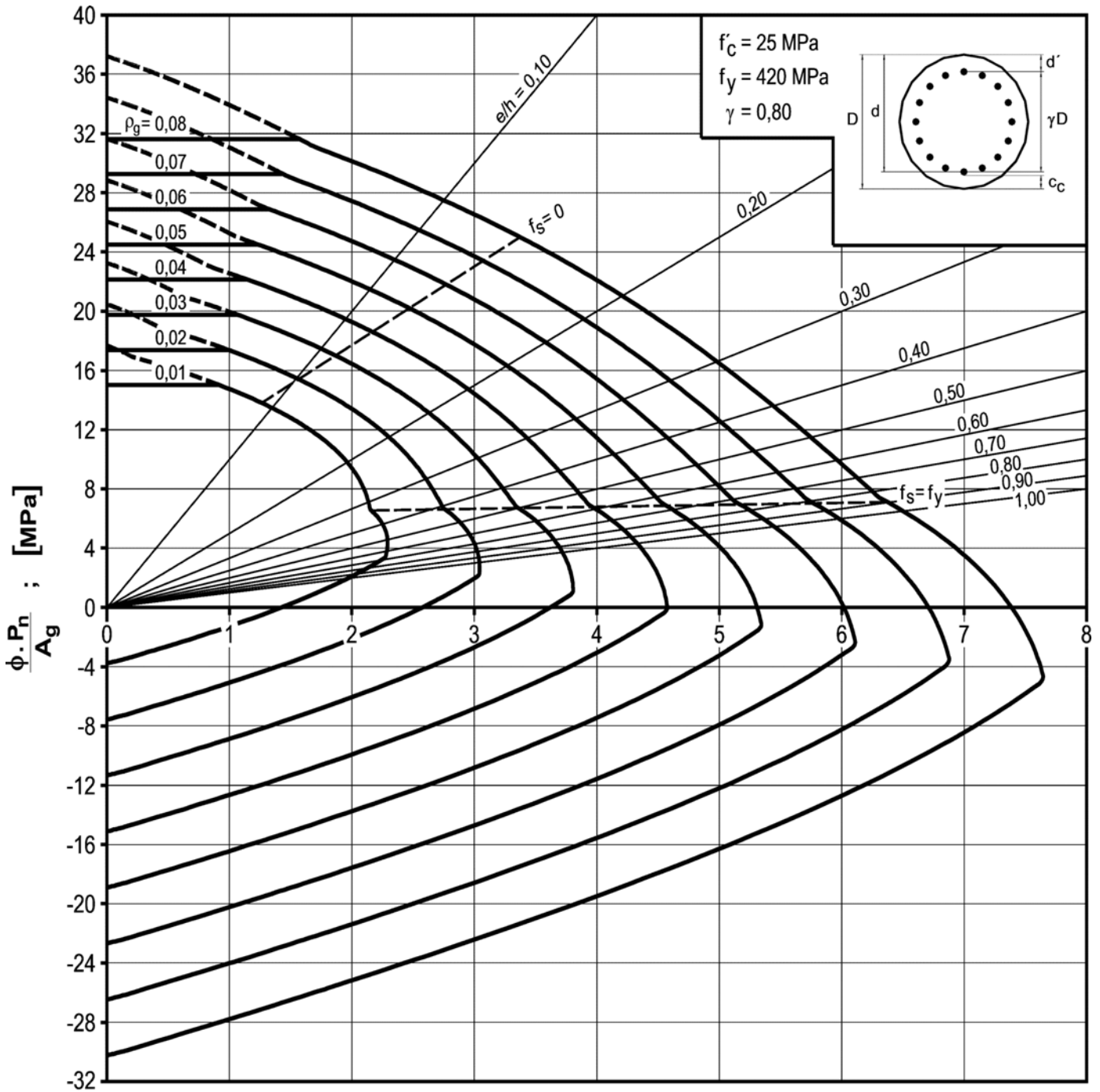


### DIAGRAMA III.8

Diagrama de interacción de la resistencia de secciones circulares.

$f'_c = 25 \text{ MPa}$  y  $\gamma = 0,70$ .

# DIAGRAMA DE INTERACCIÓN



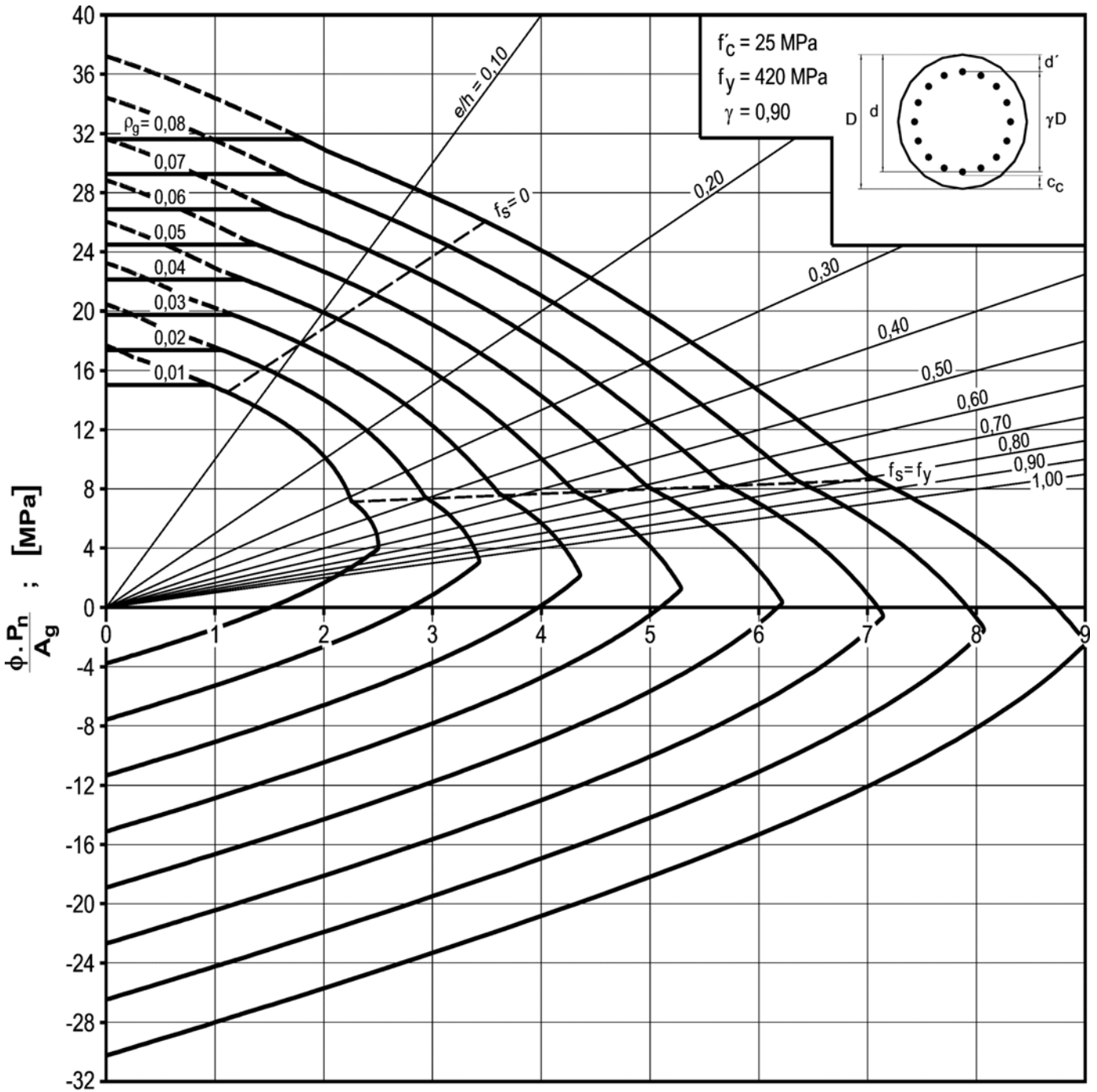
$$\frac{\phi \cdot P_n \cdot e}{A_g \cdot D} = \frac{\phi \cdot M_n}{A_g \cdot D} ; [\text{MPa}]$$

## DIAGRAMA III.9

Diagrama de interacción de la resistencia de secciones circulares.

$f'_c = 25 \text{ MPa}$  y  $\gamma = 0,80$ .

# DIAGRAMA DE INTERACCIÓN



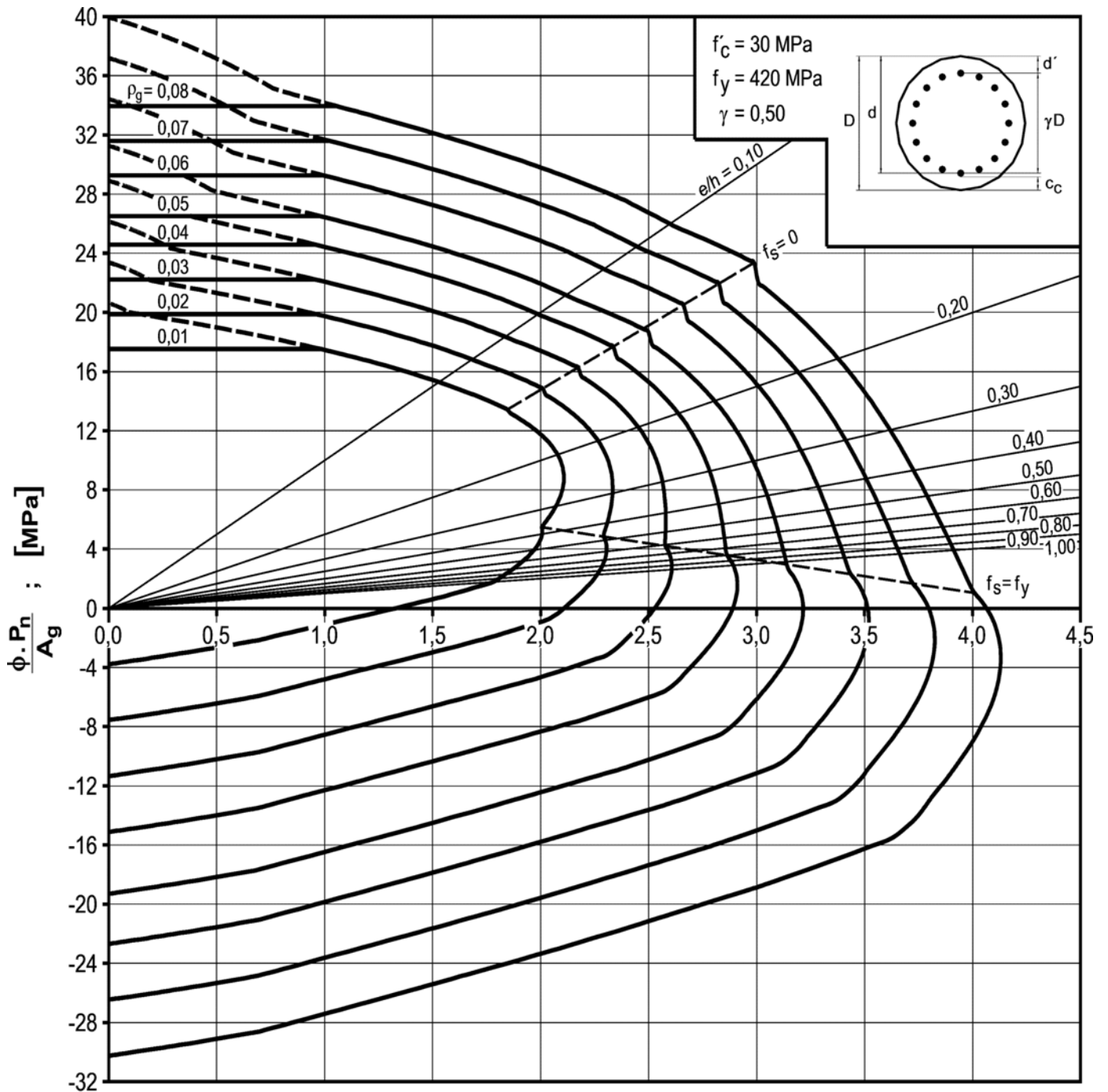
$$\frac{\phi \cdot P_n \cdot e}{A_g \cdot D} = \frac{\phi \cdot M_n}{A_g \cdot D} ; [\text{MPa}]$$

## DIAGRAMA III.10

Diagrama de interacción de la resistencia de secciones circulares.

$f'_c = 25 \text{ MPa}$  y  $\gamma = 0,90$ .

# DIAGRAMA DE INTERACCIÓN

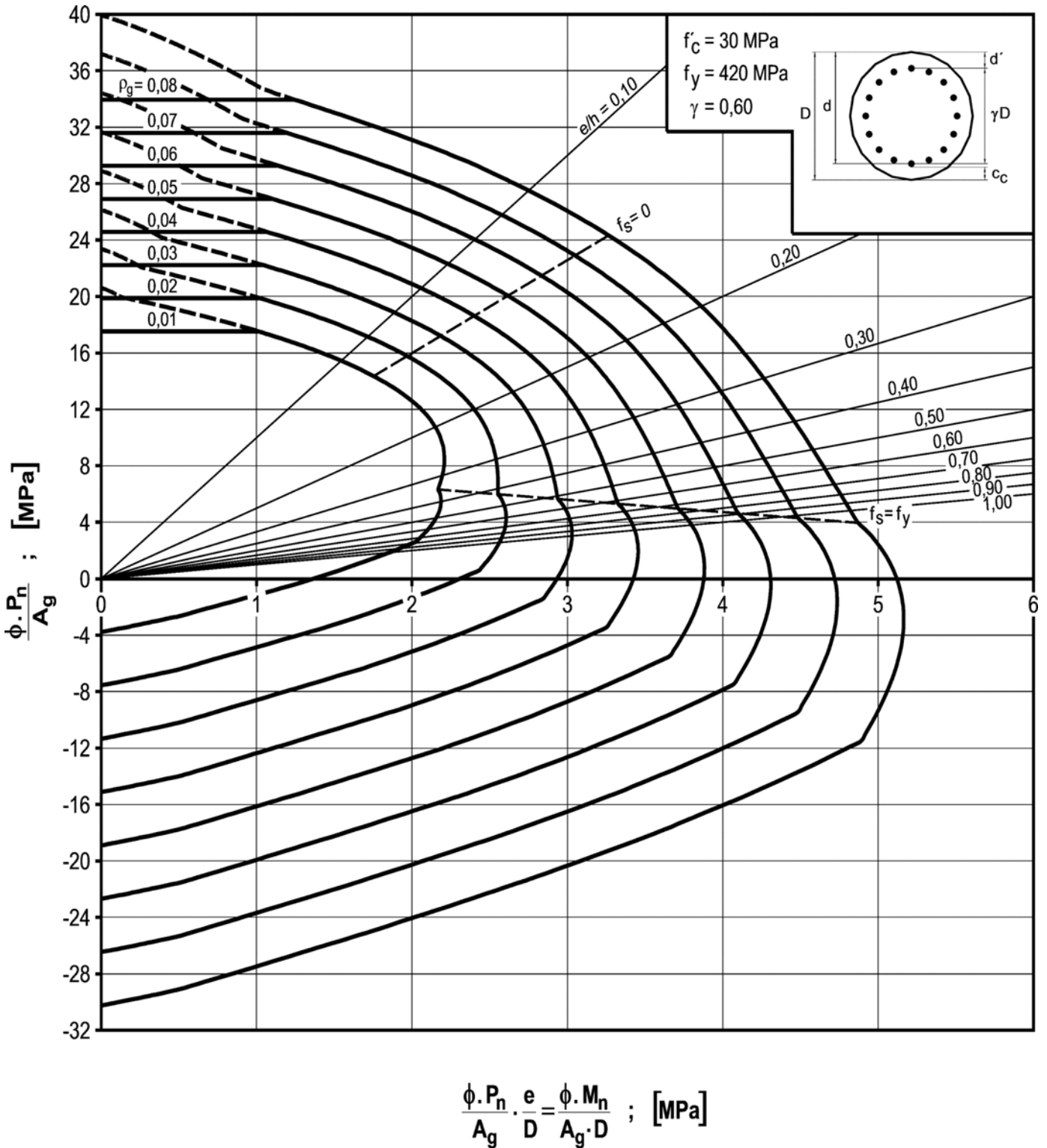


**DIAGRAMA III.11**

Diagrama de interacción de la resistencia de secciones circulares.

$f'_c = 30 \text{ MPa}$  y  $\gamma = 0,50$ .

# DIAGRAMA DE INTERACCIÓN

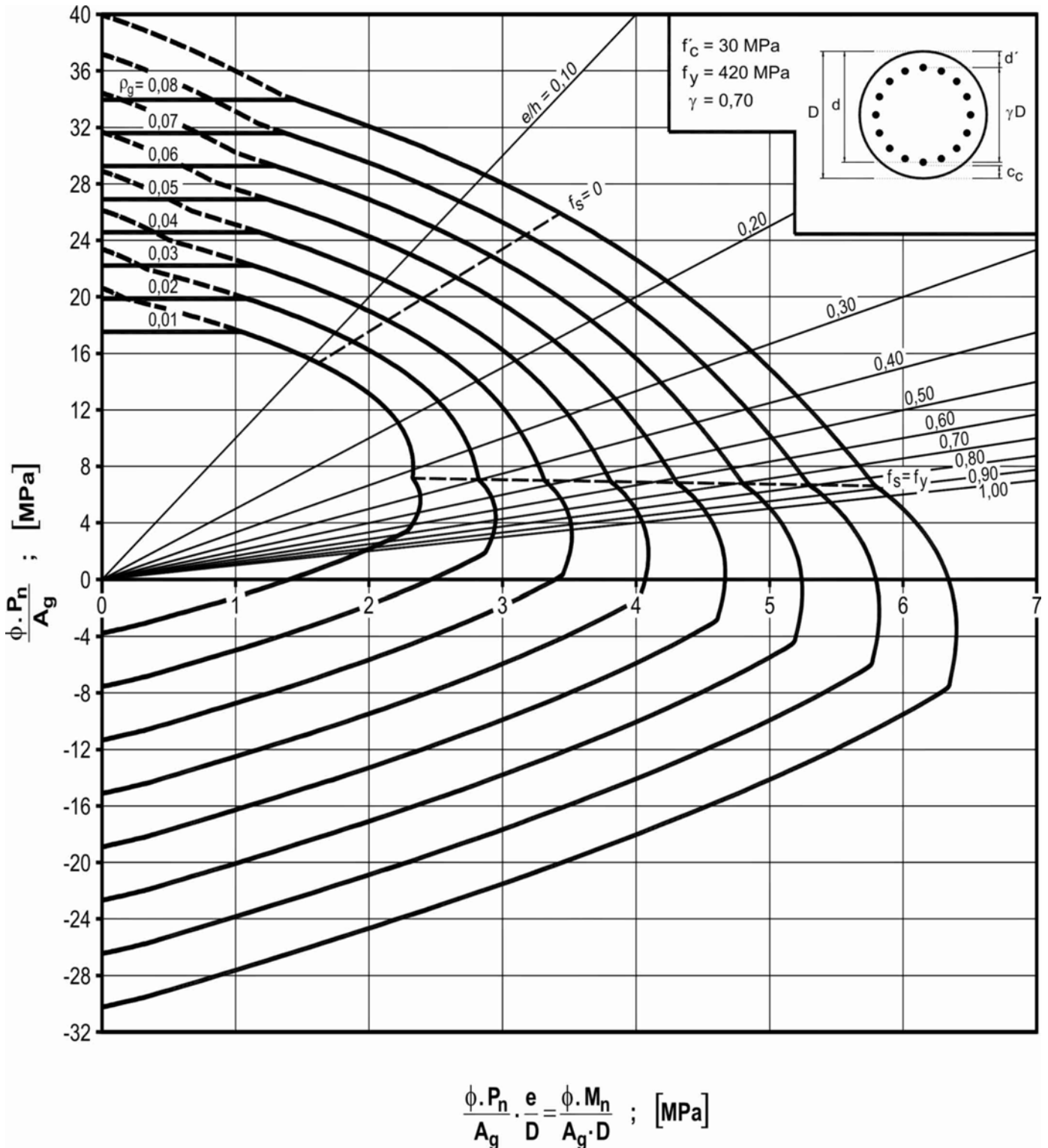


## DIAGRAMA III.12

Diagrama de interacción de la resistencia de secciones circulares.

$f'_c = 30 \text{ MPa}$  y  $\gamma = 0,60$ .

# DIAGRAMA DE INTERACCIÓN

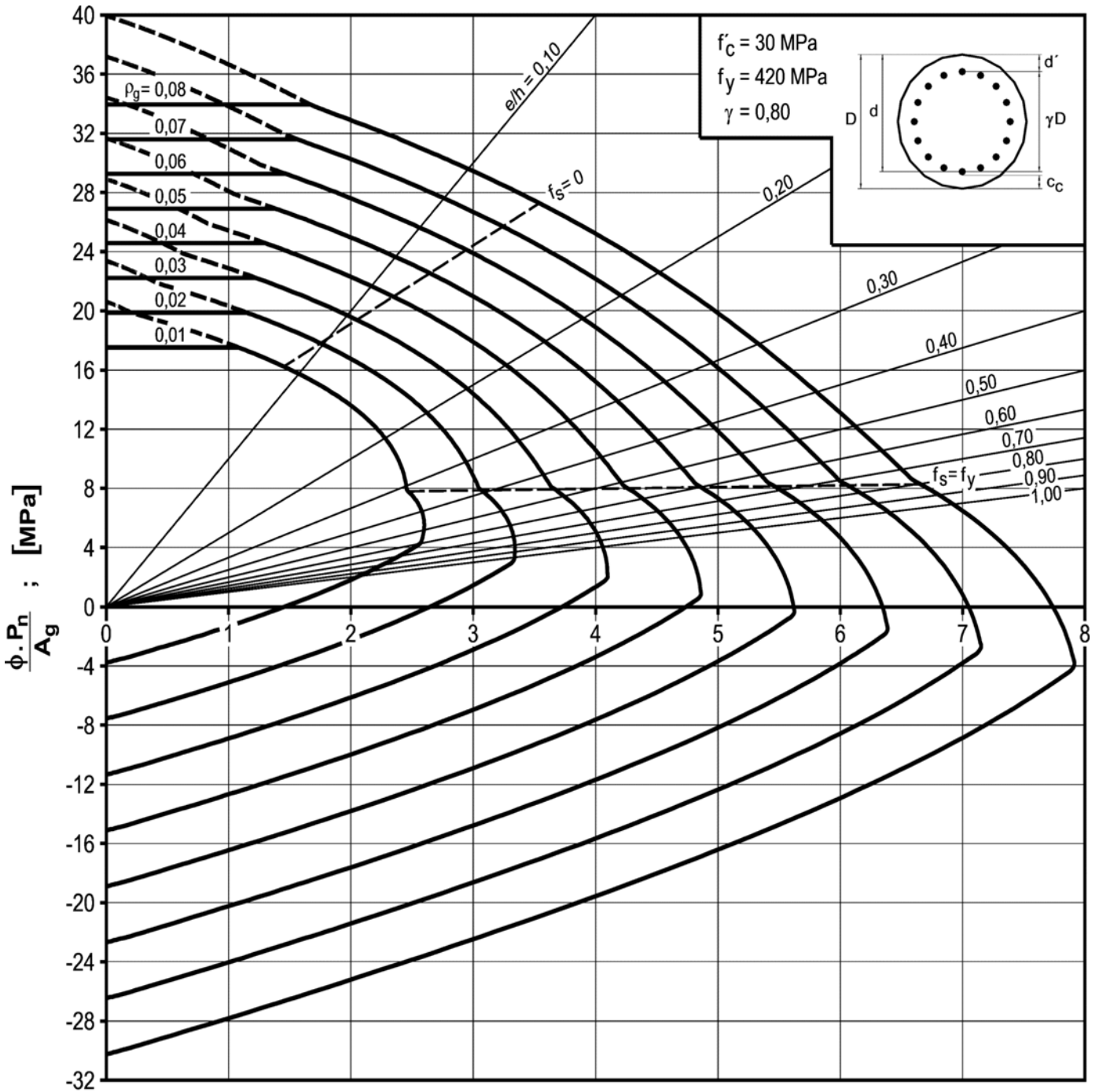


**DIAGRAMA III.13**

Diagrama de interacción de la resistencia de secciones circulares.

$f'_c = 30$  MPa y  $\gamma = 0,70$ .

# DIAGRAMA DE INTERACCIÓN



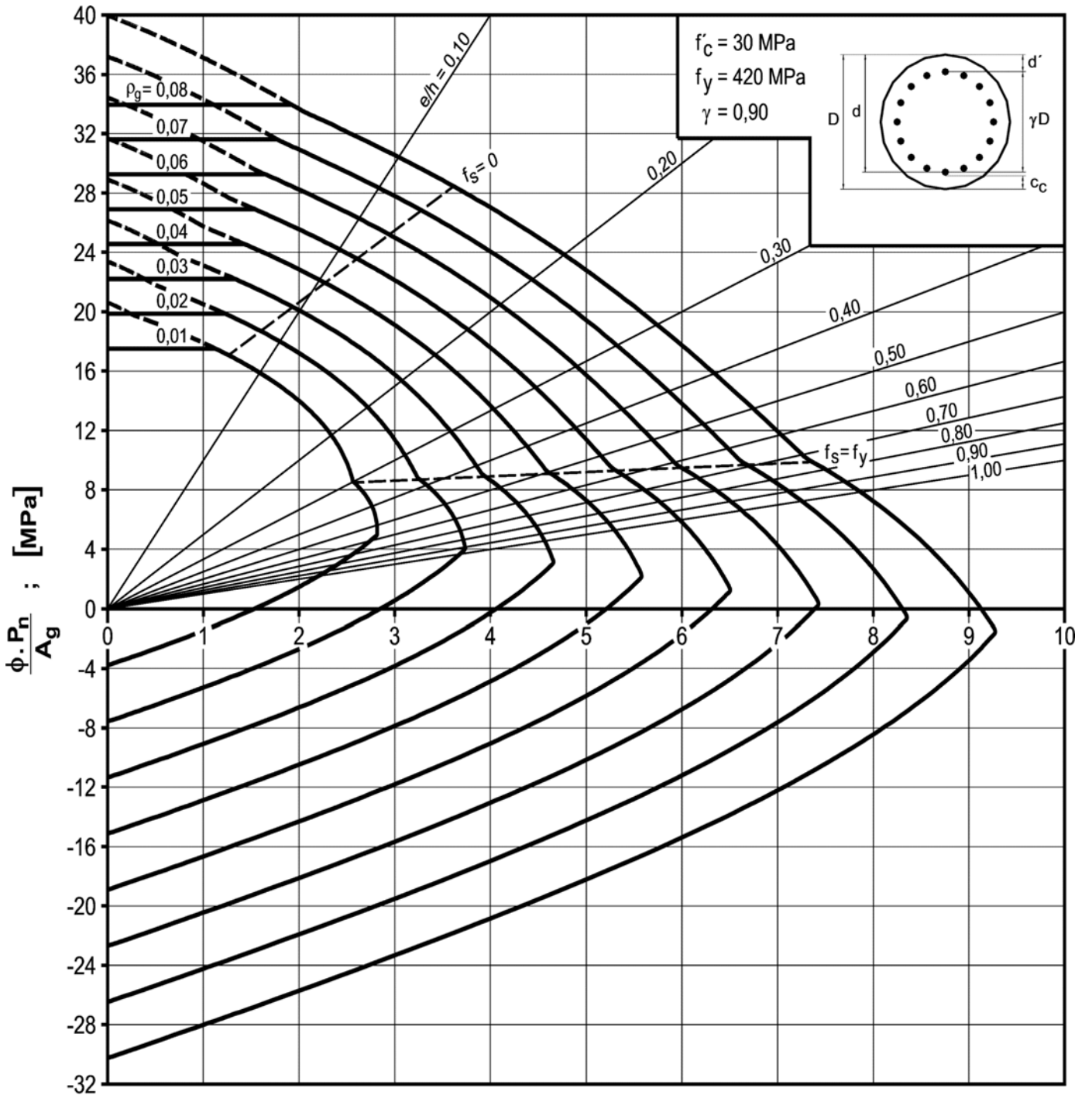
$$\frac{\phi \cdot P_n \cdot e}{A_g \cdot D} = \frac{\phi \cdot M_n}{A_g \cdot D} ; \text{ [MPa]}$$

## DIAGRAMA III.14

Diagrama de interacción de la resistencia de secciones circulares.

$f'_c = 30$  MPa y  $\gamma = 0,80$ .

# DIAGRAMA DE INTERACCIÓN



$$\frac{\phi \cdot P_n \cdot e}{A_g \cdot D} = \frac{\phi \cdot M_n}{A_g \cdot D} ; \text{ [MPa]}$$

## DIAGRAMA III.15

Diagrama de interacción de la resistencia de secciones circulares.

$f'_c = 30$  MPa y  $\gamma = 0,90$ .